

## ЛИТЕРАТУРА

- Гринь В. Т., Крайко А. Н., Миллер Л. Г. К распаду произвольного разрыва на перфорированной перегородке.— ПМТФ, 1981, № 3.
- Ильин Ю. П. Взаимодействие ударной волны с полубесконечной пористой средой.— В сб.: Прикладная математика. Тула: изд. ТПИ, 1975, вып. 2.
- Нигматуллин Р. И. Основы механики гетерогенных сред. М.: Наука, 1978.
- Николаевский В. Н., Басниев К. С., Горбунов А. Т., Зотов Г. А. Механика насыщенных пористых сред. М.: Недра, 1979.
- Климович В. И., Лурье К. А., Федоров А. В. К вопросу об условиях на поверхностях раздела областей различных типов в проточной части турбомашин. Препринт № 638. Л.: изд. Физ.-тех. ин-та им. А. Ф. Иоффе, 1979.
- Годунов С. К., Забродин А. В., Иванов М. Я., Крайко А. Н., Прокопов Г. П. Численное решение многомерных задач газовой динамики. М.: Наука, 1976.

УДК 532.593 : 532.529

## ВЗАИМОДЕЙСТВИЕ УДАРНЫХ ВОЛН С ЗАЩИТНЫМИ ЭКРАНАМИ В ЖИДКОСТИ И ДВУХФАЗНОЙ СРЕДЕ

Б. Е. Гельфанд, А. В. Губанов, Е. И. Тимофеев  
(Москва)

Исследованиями распространения волн давления в двухфазных газожидкостных средах выявлены существенные для практического использования особенности изменения параметров ударных волн на границах раздела двухфазной смеси и сплошной жидкости.

Одно из часто обсуждаемых практических приложений изучения динамики волновых процессов в двухфазной среде связано с демпфированием волн давления пузырковыми экранами. Однако почти любая задача с демпфированием волн давления в двухфазной среде распадается на две самостоятельные, но тесным образом связанные проблемы их ослабления и усиления на границах раздела сред с различным акустическим сопротивлением. Так, задача усиления волны давления встречается при анализе их перехода в среду с большим акустическим сопротивлением. Хорошо известно, что при падении ударных волн на границу раздела в двухфазной среде с увеличением акустического сопротивления возрастает перепад давления на фронте волны до 5—7 раз [1—5]. При переходе волны давления в среду с меньшим акустическим сопротивлением наблюдается ослабление волны давления в 3—5 раз [1—5] или становится возможным затухание коротковолновых возмущений в газожидкостной среде.

В связи с этим в зависимости от конкретных условий оказывается, что защитные свойства водно-пузырковых экранов в жидкости начинают определяться соотношениями акустических сопротивлений жидкости и двухфазной среды на обеих границах экрана, на одной из них перепад давления возрастает, а на другой — убывает. Следовательно, эффективность экранов будет зависеть от давления в среде, объемной концентрации газа в жидкости и от интенсивности волны. Сближение акустических сопротивлений сплошной жидкости и двухфазной среды, отмечаемое, например, при росте давления или снижении объемной концентрации газа в жидкости, делает защитные экраны прозрачными для ударных волн и, следовательно, неэффективными.

Уже в работе [6] получены расчетные данные, свидетельствующие о малой эффективности пузырковых экранов для демпфирования ударных волн с перепадом давления на фронте выше 5 МПа при объемной концентрации газа в жидкости до 10 %. Однако расчетные зависимости в [6] не отражают влияния начального давления на эффективность снижения амплитуды ударных волн с помощью экранов. Также представляется недостаточно убедительной иллюстрация в [6] сильного демпфирующего действия водно-пузырковых экранов по отношению к слабым ударным волнам с перепадом давления на ударном фронте ниже  $\Delta p = 0,1\text{--}0,2$  МПа. В результате отмеченных недостатков до сих пор в литературе не имеется достаточно убедительного доказательства эффективности использования водно-пузырковых экранов для защиты подводных сооружений в воде и водных экранов для защиты тех же сооружений в двухфазной среде.

Попытаемся с единых позиций оценить возможные ситуации, которые могут встречаться при использовании различных типов защитных экранов. Это тем более необходимо сделать, так как в литературе периодически появляются заметки как об успешном применении экранов [7], так и об ограничениях их защитных свойств [8].

**Постановка задачи.** Рассмотрим взаимодействие бесконечно длинной ударной волны с газожидкостным экраном толщиной  $l$ , размещенным в объеме сплошной жидкости. Давление на переднем фронте волны  $p_1$ . Волна

распространяется первоначально по жидкости, уравнение состояния которой описывается уравнением Тэта в виде  $p_1 - p_0 = B [(\rho_{жк} \rho_{жк0})^n - 1]$ , где  $B = 304,5$  МПа;  $n = 7,15$ ;  $\rho_0$  — начальное давление в среде. Уравнение состояния двухфазной среды в изометрическом случае поведения пузырьков газа имеет вид

$$p\beta [(1 - \beta)\rho_{жк}]^{-1} = \text{const} = A,$$

где  $\beta$  — объемная концентрация газа в жидкости. На передней границе вода — двухфазная среда наблюдается ослабление исходной волны до величины  $p_1$ , а на задней границе раздела двухфазная среда — вода ударная волна усиливается до значения  $p_2$ . Такое же давление имеет отраженная в экран волну давления. Выпишем ряд известных соотношений для давлений на фронтах ударных волн и волне разрежения на первой границе вода — двухфазная среда:

$$\begin{aligned} p_1 - p_0 &= \rho_{жк0} cu_0, \quad p_1' - p_0 = \rho_0 D_1 u_1, \quad p_1 - p_1' = \\ &= \rho_{жк0} (c + u_0)(u_1 - u_0), \end{aligned}$$

где  $\rho_{жк0}$ ,  $c$  — плотность и скорость распространения звука в чистой жидкости;  $u_0$ ,  $u_1$  — скорость среды за ударной волной в жидкости и газожидкостной среде соответственно. Ударные волны в жидкости рассматриваются в акустическом приближении, а сжимаемость воды необходимо учитывать лишь при исследовании распространения волн давления по двухфазной среде. Можно показать, что скорость волны при  $\beta > 0$ ,  $\Delta p < 100$  МПа составит в этой среде

$$\begin{aligned} D^2 &= c^2 a [1 + a] \{(1 - \beta)[(1 - \beta p_0 p^{-1})a + \beta(1 - p_0 p^{-1})]\}^{-1}, \\ a &= \Delta p (Bn)^{-1}. \end{aligned}$$

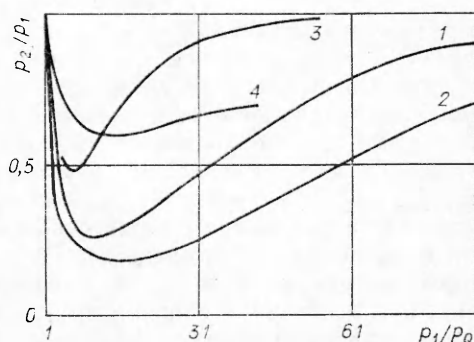
Плотность двухфазной среды  $\rho_0 = (1 - \beta_0) \rho_{жк0}$ ,  $\beta_0$  — объемная концентрация газа в экране.

На задней границе при переходе в воду параметры пришедшей и отраженных волн связаны соотношениями

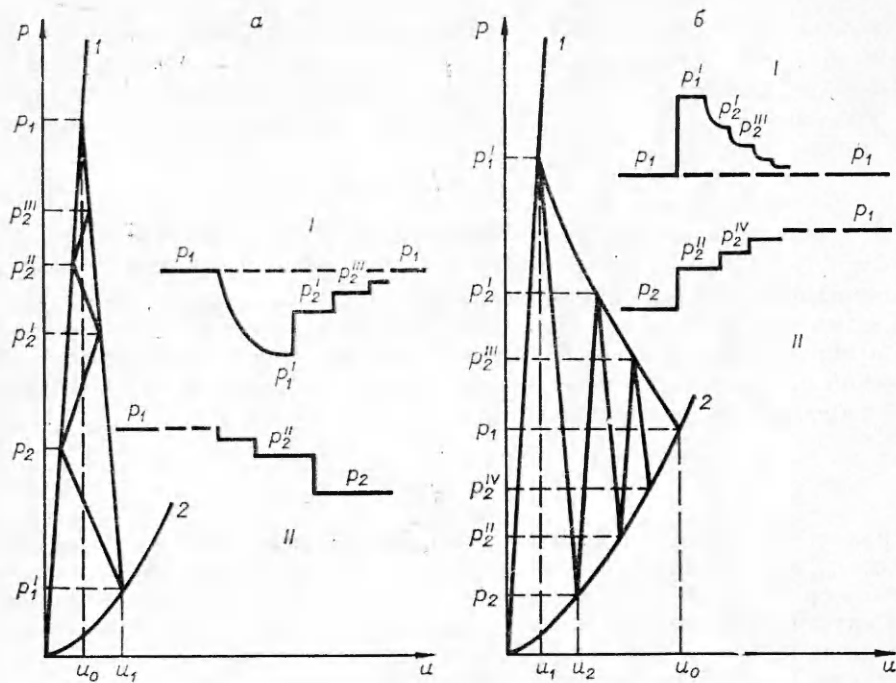
$$\begin{aligned} p_1' - p_0 &= \rho_0 D_1 u_1, \quad p_2 - p_0 = \rho_{жк0} c u_2, \\ p_2 - p_1' &= \rho_0' (D_1' + u_1) (u_1 - u_2), \end{aligned}$$

где  $\rho_0'$  — плотность двухфазной среды за падающей волной;  $D_1'$  — скорость отраженной в экран волны;  $p_2$ ,  $u_2$  — давление и скорость среды в прошедшей за экран волне.

На фиг. 1 показана зависимость  $p_2 p_1'^{-1}$  от величины  $p_1 p_0^{-1}$  для различных объемных концентраций газа  $\beta_0$  и начального давления  $p_0$ . Кривые 1, 2 построены для случаев  $\beta_0 = 5; 10\%$ ,  $p_0 = 0,1$  МПа. Кривая 3 получена при  $\beta_0 = 5\%$ ,  $p_0 = 0,5$  МПа и показывает влияние начального давления  $p_0$  на коэффициент ослабления волны  $p_2 p_1'^{-1}$ . Из сравнения кривых 1, 3 видно, что увеличение начального давления  $p_0$  значительно ухудшает демпфирующее воздействие экрана на ударные волны вследствие сближения акустических сопротивлений воды и газожидкостной среды. Существование минимумов величины  $p_2 p_1'^{-1}$  связано с нелинейной зависимостью скорости волны в двухфазной среде от давления. Кривая 4 отвечает



Фиг. 1



Ф и г. 2

ет случаю, когда газожидкостный экран с концентрацией газа  $\beta_0$  расположена в газожидкостной среде с концентрацией  $\beta_1$ , причем  $\beta_0 > \beta_1$ . Для рассмотренного случая  $\beta_0 = 10\%$ ,  $\beta_1 = 1\%$ ,  $p_0 = 0,1$  МПа. Приведенный пример означает, что введение в жидкость малого количества газа существенно снижает демпфирующее воздействие экрана на ударные волны.

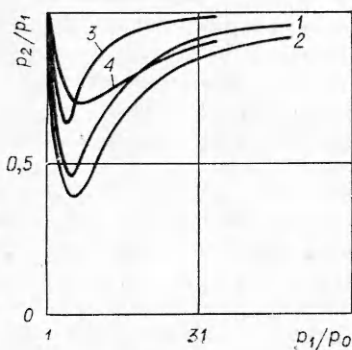
Рассмотрим историю движения отраженной от задней границы раздела ударной волны. На фиг. 2, а качественно представлена  $P$  —  $u$ -диаграмма (диаграмма давление — скорость) для случая взаимодействия ударной волны с газожидкостным экраном, расположенным в жидкости. Кривые 1, 2 — ударные адиабаты жидкости и двухфазной среды. Отраженная в экран ударная волна с давлением на фронте  $p_2$  падает на переднюю границу и усиливается после взаимодействия до некоторой величины  $p_2'$ . Возвращаясь на заднюю границу, эта волна при взаимодействии усиливается до величины  $p_2''$ . Процесс последовательных отражений продолжается до тех пор, пока за экран не пройдет возмущение с давлением на фронте, равным исходному возмущению  $p_1$ . На фиг. 2 качественно показана картина нарастания давления внутри экрана I и за ним II. По-видимому, достаточно 3-х, 4-х пробегов волны по экрану для практически полного выравнивания давления за и перед экраном. К этому моменту обе границы экрана будут двигаться со скоростью, близкой к  $u_0$ .

Рассмотрим случай взаимодействия ударной волны, распространяющейся по газожидкостной среде с водяной прослойкой толщиной  $l$  (обратный экран). Для исходного возмущения прошедшей и преломленных волн оставим те же обозначения, что и для нормального экрана. Концентрация газа  $\beta_0$ . Здесь уже нет необходимости выписывать известные ударные соотношения, а рассмотрим лишь особенность, связанную с волной разрежения в газожидкостной среде для случая, когда вместо водяной прослойки помещен пузырьковый экран, имеющий объемную концентрацию  $\beta_1$ , причем  $\beta_1 < \beta_0$ . Если в воде волну разрежения можно описывать в акустическом приближении, то в двухфазной среде этого делать нельзя. Необходимо проводить полный расчет профиля волны с использованием инвариант-

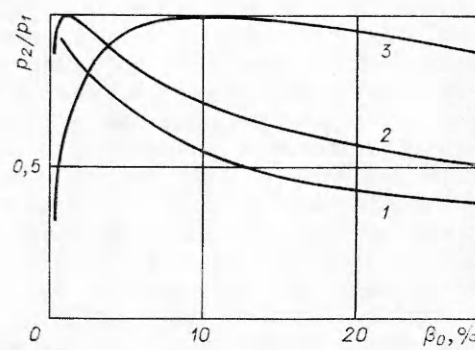
тов Римана для сжимаемой среды. Можно показать, что для газожидкостной среды в изотермическом случае с учетом сжимаемости жидкости связь между скоростью среды и давлением имеет вид  $u \pm \{b - 0,5d \times \times \ln[(d+b)(b-d)^{-1}]\}(\rho_{ж}c)^{-1} = \text{const}$ ,  $b^2 = p^2 + A\rho_{ж}c^2$ ,  $d^2 = A\rho_{ж}c^2$ , где  $A$  — постоянная из уравнения состояния двухфазной среды. С использованием этого выражения и ударно-волновых соотношений, выписанных ранее, найдем соотношение  $p_2p_1^{-1}$  за водяной прослойкой в газожидкостной среде в зависимости от тех же параметров, что и для нормального экрана, как на фиг. 3. Кривые 1, 2 на фиг. 3 построены для  $\beta_0 = 5,10\%$  и соответственно  $p_0 = 0,1 \text{ МПа}$ . Кривая 3 построена для  $\beta_0 = 5\%$ ,  $p_0 = 0,5 \text{ МПа}$ . Как и для нормального экрана, увеличение начального давления ухудшает демпфирующую действие обратного экрана. Кривая 4 отвечает случаю, когда газожидкостная прослойка с концентрацией газа  $\beta_1$  расположена в двухфазной среде, причем  $\beta_1 < \beta_0$ ,  $\beta_1 = 1\%$ ,  $\beta_0 = 10\%$ ,  $\mu_0 = 0,1 \text{ МПа}$ . Введение в водяную прослойку ( $\beta_1 = 0$ ) незначительного количества газа привело к значительному ухудшению демпфирующего свойства экрана.

Рассмотрим движение волн по экрану. В отличие от предыдущего случая, когда по экрану двигались только ударные волны, для водяной прослойки будет наблюдаться чередование волн разрежения и сжатия. На фиг. 2, б качественно представлена  $p$  —  $u$ -диаграмма взаимодействия ударной волны, распространяющейся по двухфазной среде, с водяным экраном. Обозначения те же, что и на фиг. 2, а. Первоначально по двухфазной среде движется ударная волна с давлением на фронте  $p_1$  и скоростью среды  $u_0$ . На первой границе раздела при переходе в воду волна усиливается до давления  $p_1'$ , а при выходе за экран ослабевает до величины  $p_2$ . При этом в воду распространяется волна разрежения, движущаяся к передней границе. В результате взаимодействия волны разрежения с передней границей в двухфазную среду проникает волна разрежения, а в воду — ударная волна с давлением  $p_2'$  на фронте. Для случая водяной прослойки этот процесс чередования волн давления и разрежения будет продолжаться до тех пор, пока давление за экраном не станет равным начальному  $p_1$ . На пояснительной схеме фиг. 2, б показана качественно картина течения перед I и за водяным экраном II. Перед экраном по среде, находящейся под давлением  $p_1$ , первоначально распространяется ударная волна, а затем ряд волн разрежения. За экраном наблюдается ряд движущихся и догоняющих друг друга ударных волн.

Рассмотрим влияние концентрации газа  $\beta_0$  вне экрана на коэффициент ослабления  $p_2p_1^{-1}$ . В экране объемная концентрация  $\beta_1$ . На фиг. 4 показана зависимость  $p_2p_1^{-1}$  от  $\beta_0$  для случая  $p_0 = 0,1 \text{ МПа}$ ,  $p_1p_0^{-1} = 10$ . Кривые 1—3 построены при условиях  $\beta_1 = 0,1; 1; 10\%$ . Все кривые имеют точку касания с прямой  $p_2p_1^{-1} = 1$ . В этом случае границы раздела отсутствуют. Слева от точек касания  $\beta_0 < \beta_1$ , и имеем случай нормального экрана. При  $\beta_0 > \beta_1$  реализуется случай обратного экрана.



Фиг. 3



Фиг. 4

**Обсуждение результатов.** Анализ расчетных зависимостей, отображенных на фиг. 1—4, показывает, что снижение параметров ударных волн можно ожидать только для тех из них, перепад давления на фронте которых заключен в интервале выше  $p_1 p_0^{-1} = 3 - 5$  и ниже  $p_1 p_0^{-1} = 30 - 40$  при  $p_0 = 0,1$  МПа и весьма значительной объемной концентрации газа в жидкости ( $\beta_0 = 5 - 10\%$ ). Даже при столь высоких объемных долях газа в жидкости повышение давления до величины порядка  $p_0 \geq 0,5$  МПа, эквивалентное погружению пузырькового экрана на глубину выше 50 м, еще резче ограничивает демпфирующую способность экрана и сужает диапазон непрозрачности экрана до области перепадов давления  $3 < p_1 p_0^{-1} < 20$ . Как видно, повышение начального давления слабо влияет на прозрачность экрана по отношению к слабым возмущениям давления. В то же время диапазон непрозрачности по отношению к сильным ударным волнам сужается от  $p_1 p_0^{-1} = 30 - 40$  до  $p_1 p_0^{-1} = 15 - 20$ .

Имеется также определенное различие в оценке демпфирующего действия пузырьковых экранов по отношению к слабым волнам в работе [6] и на фиг. 1—4. Так, по данным [6], пузырьковые экраны при объемной концентрации газа в жидкости 1—10% снижают параметры волн с перепадом давления  $p_1 p_0^{-1} \sim 1,7$  при  $p_0 = 0,1$  МПа почти в 10 раз. Однако на самом деле при ослаблении волны давления, падающей на экран, должно наблюдаться сближение перепадов давления перед экраном и за ним. Действительно, в [6] показана связь величины  $p_2$  и  $p_1$  в акустическом случае в виде  $p_2 p_0^{-1} - 1 = (p_1 p_0^{-1} - 1) 4z_1 z (z_1 + z)^{-2}$ , где  $z$  и  $z_1$  — акустические сопротивления воды и двухфазной среды  $\rho_0 c_0$  соответственно. Можно убедиться, что при  $p_1 p_0^{-1} \rightarrow 1$   $p_2 p_0^{-1} \rightarrow 1$ . Таким образом, приведенные соотношения и иллюстрации более реально отражают защитные свойства экрана по отношению к слабым волнам.

Необходимо отметить, что сделанные выводы о малом ослаблении волн с малым и большим перепадом давления частично подтверждены в опытах [8], где также отмечено, что волна давления с перепадом на фронте 0,14 МПа при  $p_0 = 0,1$  МПа, т. е. при  $p_1 p_0^{-1} = 2,4$ , ослабевает при пересечении пузырькового экрана всего в 2 раза. Волна давления с перепадом 1,2 МПа при  $p_0 = 0,1$  МПа, т. е. при  $p_1 p_0^{-1} = 13$ , ослабевает не более чем на 20—30%. Оба эти результата достаточно хорошо описываются проделанными расчетами. Сопоставление с опытами [8], где исследовалось прохождение через экран коротковолновых возмущений, показывает, что для оценки ослабления параметров на фронте волны давления вполне можно пользоваться представленными соотношениями и предложенной моделью изменения параметров длинных волн при пересечении водно-пузырькового экрана, так как в этом случае многократных отражений ударных волн в экране уже не будет.

Выполненные расчеты иллюстрируют малую универсальность водно-пузырьковых экранов как средства ослабления волн давления в жидкости. При каждой конкретной ситуации в зависимости от параметров волн давления, среднего давления в среде, технических возможностей обеспечения заданной объемной концентрации газа в жидкости целесообразно перед постановкой защитного экрана провести оценку его эффективности. Кроме того, при установке защитных экранов необходимо учитывать возможность существенного уменьшения их эффективности при попадании даже малого количества газа в окружающую экран среду.

Выполненное рассмотрение также показывает большую эффективность нормальных экранов для изменения параметров ударных волн, чем обратных экранов. В связи с тем что скорость звука в газожидкостной среде намного меньше скорости звука в жидкости, при использовании нормальных экранов для волн умеренной интенсивности и достаточно протяженных экранов можно добиться значительного растяжения импульса прошедшей волны во времени. Для обратного экрана этого добиться

нельзя из-за существенной зависимости скорости распространения волн от их интенсивности. Быстрый процесс многократного пробега волн внутри обратного экрана и их взаимное наложение вне экрана в двухфазной среде делают обратные экраны неэффективными для уменьшения параметров ударных волн.

*Поступила 15 XII 1980*

#### ЛИТЕРАТУРА

1. Campbell L. I., Pitcher A. S. Shock waves in a liquid containing gas bubbles.— Proc. Roy. Soc., 1958, A 243, N 1235.
2. Гельфанд Б. Е., Губин С. А. и др. Исследование волн сжатия в смеси жидкости с пузырьками газа.— ДАН СССР, 1973, т. 213, № 5.
3. Лихов Г. М., Охитин В. Н. Сферические взрывные волны в многокомпонентных средах.— ПМТФ, 1974, № 2.
4. Гельфанд Б. Е., Губанов А. В. и др. Затухание ударных волн в двухфазной среде жидкость — пузырьки газа.— Изв. АН СССР. МЖГ, 1977, № 1.
5. Гельфанд Б. Е., Губин С. А. и др. Прохождение ударных волн через границу раздела в двухфазных газожидкостных средах.— Изв. АН СССР. МЖГ, 1974, № 6.
6. Паркин Б. Р., Гилмор Ф. Р., Броуд Г. А. Ударные волны в воде с пузырьками воздуха.— В сб.: Подводные и подземные взрывы. М.: Мир, 1974.
7. Grosely M., Klivokaric J. Djelovanje explozije u vodi.— Miniranje, 1976, vol. 8, N 3.
8. Дружинин Г. А., Остроумов Г. А., Токман А. С. Нелинейные отражения ударных волн и ударные кривые жидкостей с пузырьками газа.— В сб.: Нелинейные волны деформации. Таллин, 1978.

УДК 532.593 + 534.222 + 536.441

#### СТРУКТУРА ВОЛН СЖАТИЯ И РАЗРЕЖЕНИЯ В ГАЗЕ ВАН-ДЕР-ВААЛЬСА С ПОСТОЯННОЙ ТЕПЛОЕМКОСТЬЮ

*А. А. Борисов, Г. А. Хабахпашев*

*(Новосибирск)*

Известно [1], что в ударных волнах слабой интенсивности изменение энтропии пропорционально изменению удельного объема в третьей степени:  $S_2 - S_1 = (\partial^2 p / \partial V^2)_S (V_1 - V_2)^3 / 12 T_1$ , где  $p$  — давление;  $V$  — удельный объем;  $T$  — температура; индексом 1 обозначены значения величин перед фронтом ударной волны, а 2 — за фронтом. В идеальном газе, а также в большинстве реально осуществляющихся ситуаций  $(\partial^2 p / \partial V^2)_S > 0$ . Следовательно, условие возрастания энтропии разрешает существование ударных волн сжатия и запрещает существование ударных волн разрежения (теорема Цемплене).

Однако Я. Б. Зельдович показал [2], что вблизи критической точки жидкость — пар при определенных условиях  $(\partial^2 p / \partial V^2)_S$  может быть меньше нуля. В этой области аномальных термодинамических свойств волны сжатия должны размываться со временем, а волны разрежения — распространяться в виде ударных (резких) волн. Более сложный случай, когда невозмущенное состояние находится в области аномальных термодинамических свойств, а возмущенное — вне ее (или наоборот), теоретически рассматривался в ряде работ, подробный разбор которых дан в [3]. В этих работах основное внимание уделяется анализу волновых адиабат таких сред. Вопрос о существовании точных автомодельных решений рассматриваемой задачи в настоящее время не исследован. В [4] получено эволюционное уравнение для длинноволновых возмущений конечной амплитуды, при помощи которого объяснены возможные многоволновые структуры волн разрежения.

Первый эксперимент по изучению распространения возмущений конечной амплитуды в критической области выполнен на установке типа «ударная труба» [5]. В этом эксперименте фиксировались профили волн разрежения, поэтому и теоретические результаты желательно получить в аналогичном виде. В связи с этим в данной работе вопрос о структуре волн давления вблизи критической точки жидкость — пар исследуется при помощи численного решения задачи о распаде произвольного разрыва.

1. Поведение реальных веществ, состояние которых не находится в непосредственной близости к критической точке или в двухфазной области, хорошо описывается моделью Ван-дер-Ваальса [6]. Обычно уравнение состояния Ван-дер-Ваальса записывают в виде

$$(1.1) \quad (p + a/V^2)(V - b) = R_G T,$$